

量子暗号研究の動向

大阪大学

井上 恭

内容

[1] 量子暗号の概略

[2] 各種プロトコル

BB84、B92、BBM92、DPS

[3] 実験

(1) 光子検出器

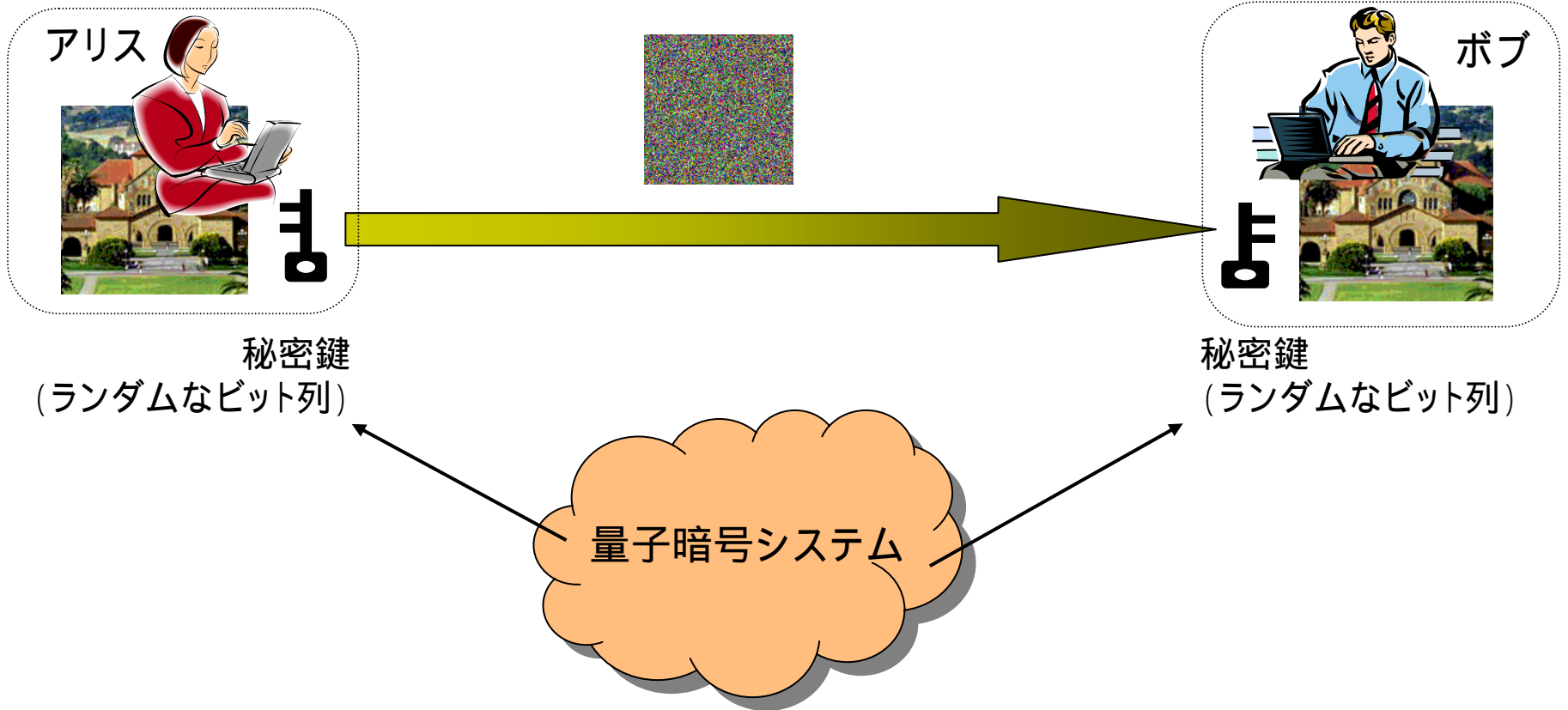
(2) BB84 プラグ & プレイ

(3) DPS

[4] 連続変数量子鍵配送

[5] 量子もつれ鍵配送

量子鍵配送



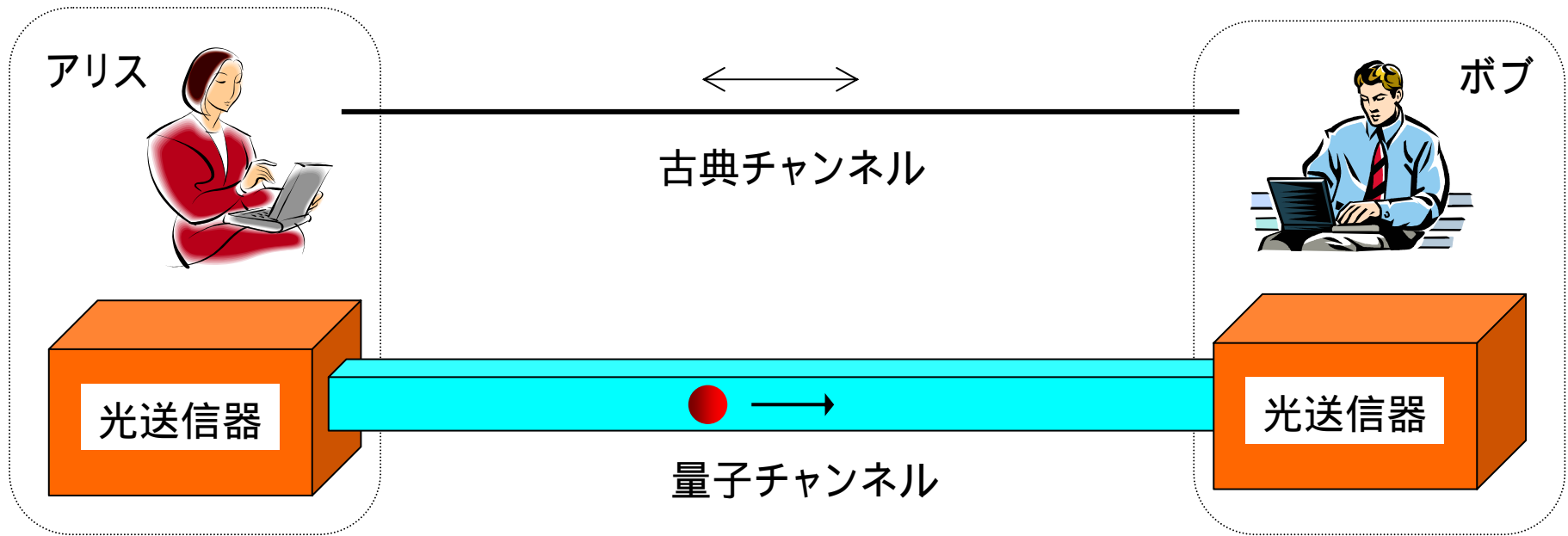
量子暗号 (量子鍵配送)

目的 量子力学的に秘匿性が保証された秘密鍵を2者に供給

売り文句 安全性は量子力学的に保証

前提 盗聴者は物理法則に反しない限り何でもできる。それでも安全。

量子鍵配送の基本構図



量子チャンネルで光子を送受信

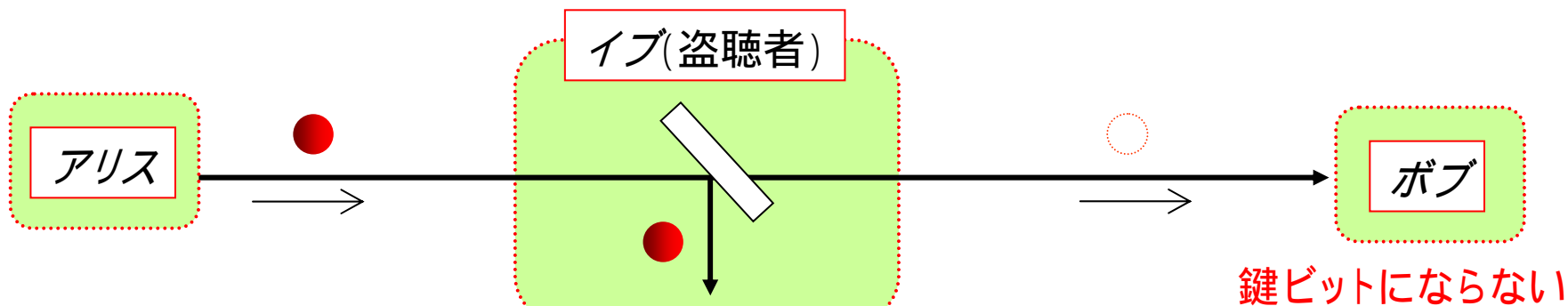
古典チャンネルで送受信系に関する情報交換

鍵ビット生成

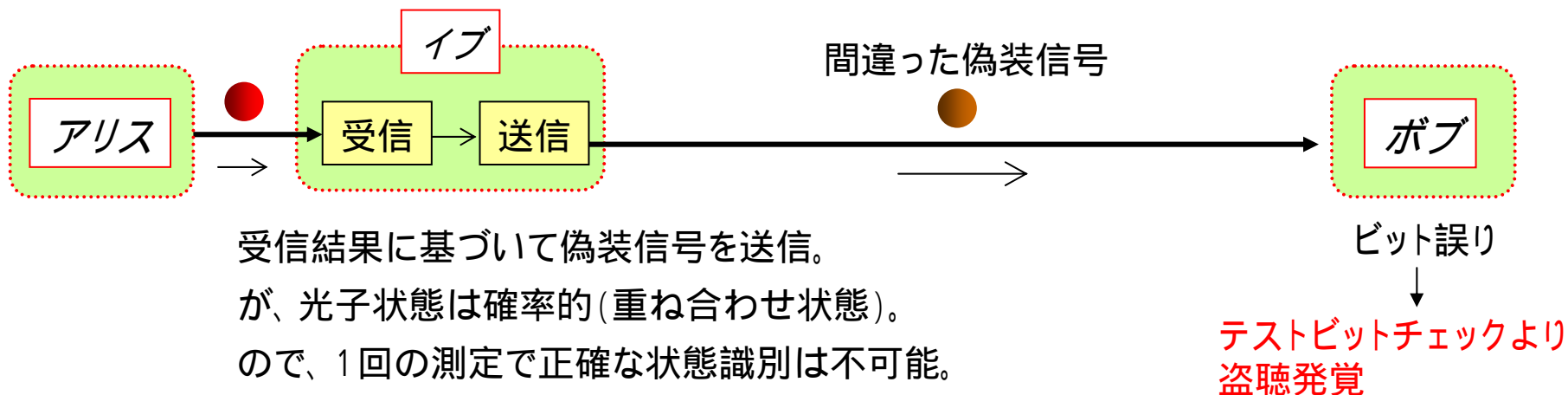
誤り訂正・秘匿性増強 → **秘密鍵**

量子鍵配送の安全性

ビームスプリット盗聴



なりすまし盗聴

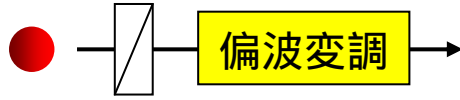


各種プロトコル

BB84

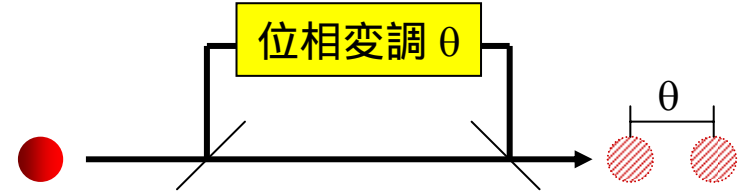
4つの非直交状態

偏波エンコード



		直線	円
ビット情報	「0」		
	「1」		

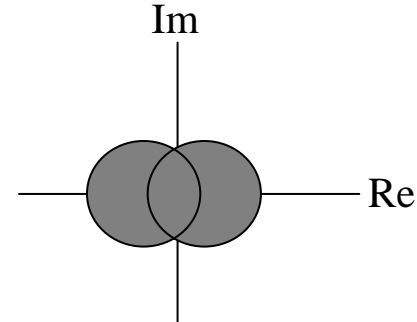
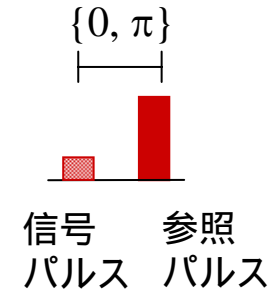
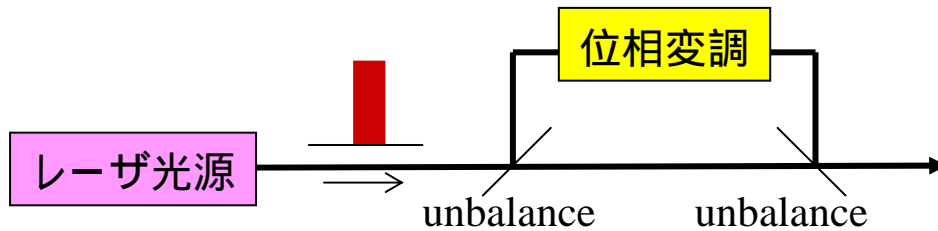
位相エンコード



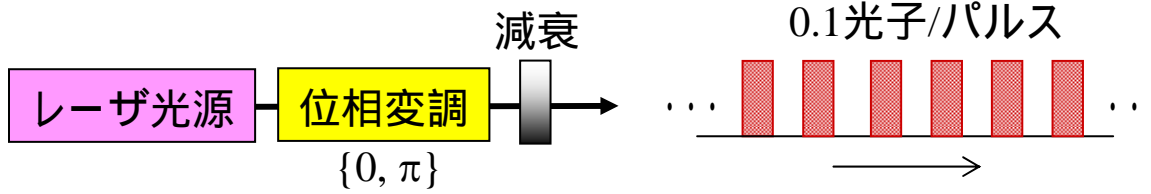
		$\{0, \pi\}$	$\left\{-\frac{\pi}{2}, \frac{\pi}{2}\right\}$
ビット情報	「0」	0 	$-\pi/2$
	「1」	π 	$\pi/2$

B92

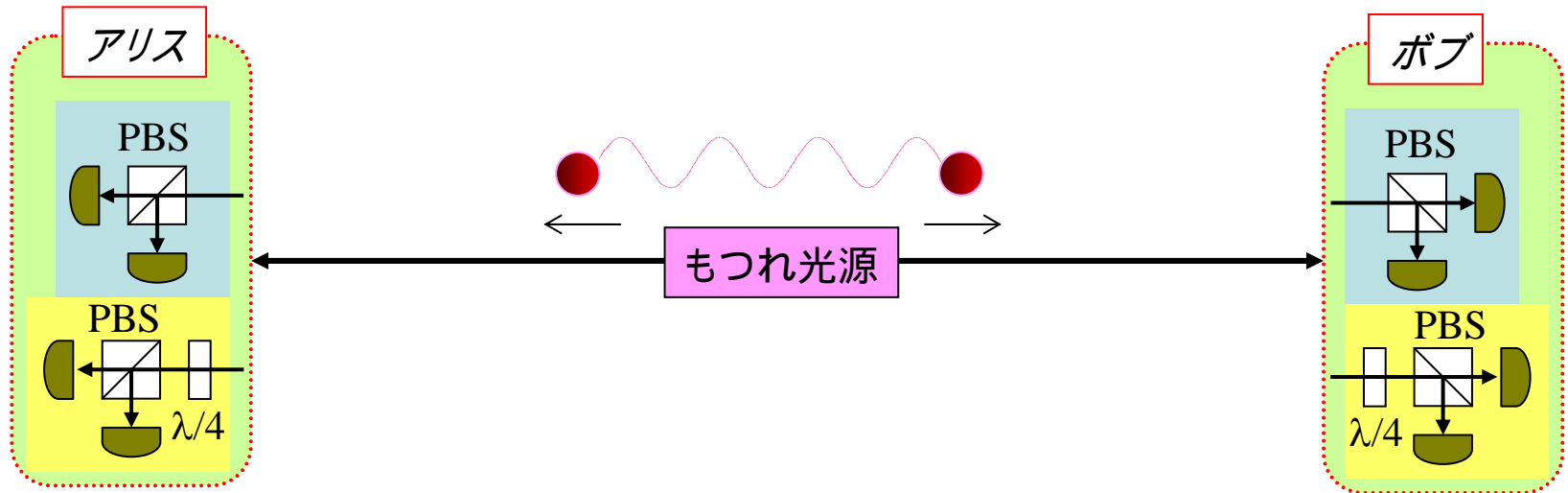
2つの非直交状態



DPS 弱コヒーレント光パルス列

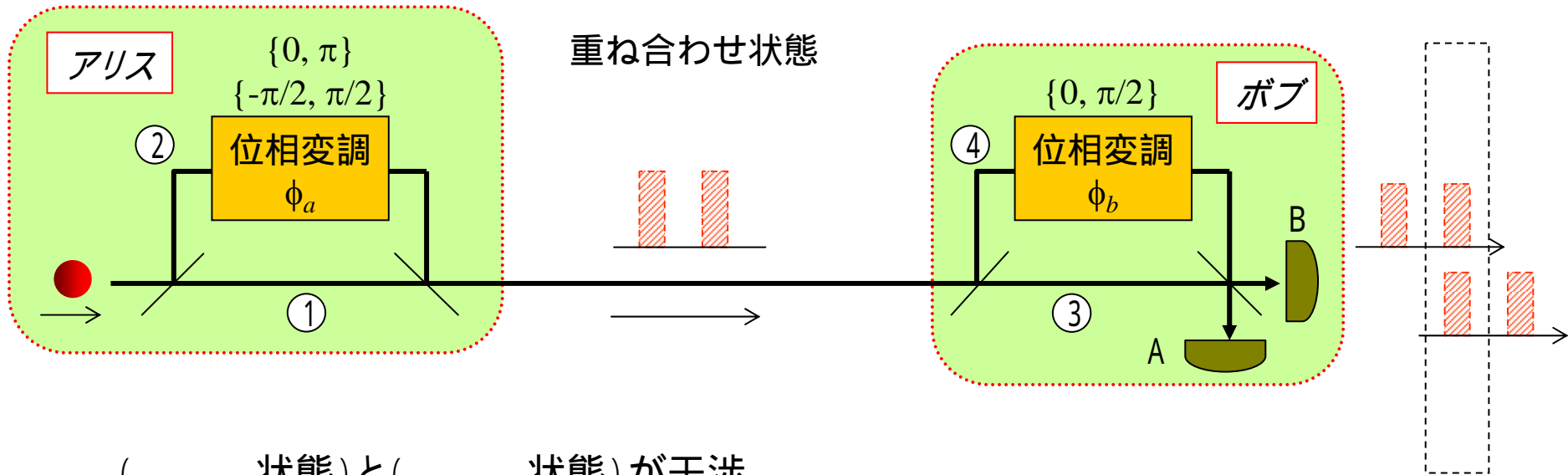


BBM92 量子もつれ光子 + BB84



では具体的に

位相エンコードBB84:構成



(状態)と(状態)が干渉

検出器A
検出器B

$$\begin{cases} \theta_1 + \theta_4 = \theta_2 + \theta_3 \\ \theta_1 + \theta_4 = \theta_2 + \theta_3 + \pi \end{cases}$$

$\Rightarrow \begin{cases} \phi_b - \phi_a = 0 \\ \phi_b - \phi_a = \pi \end{cases}$

検出器A
検出器B

$\phi_a \backslash \phi_b$	0	$\pi/2$
$-\pi/2$	A/B	B
0	A	A/B
$\pi/2$	A/B	A
π	B	A/B

位相エンコードBB84: 鍵生成手順

アリス: ϕ_a をランダムに設定して光子を送信

ボブ: ϕ_b をランダムに設定して光子を検出

ボブ アリス: どの光子が真ん中の時刻で検出されたか、
それについて自分の位相が0か $\pi/2$ か、を通知。

アリス ボブ: 真ん中時刻で検出された光子について、
自分の位相が $\{0, \pi\}$ か $\{\pi/2, 3\pi/2\}$ か、を通知。

光子検出器が確定している場合について鍵ビット生成

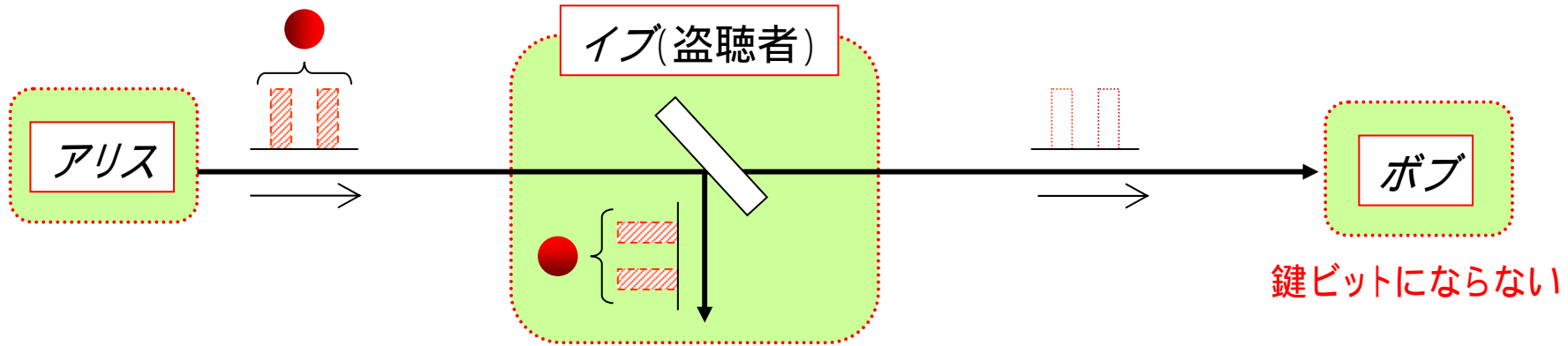
$$\left. \begin{array}{l} \phi_a = \{0, \pi\} \text{ かつ } \phi_b = 0 \text{ の場合} \\ \phi_a = \{-\pi/2, \pi/2\} \text{ かつ } \phi_b = \pi/2 \text{ の場合} \end{array} \right\} \begin{array}{l} \text{A} \quad \text{「0」} \\ \text{B} \quad \text{「1」} \end{array}$$

不確定な場合 (A/B) は無視。

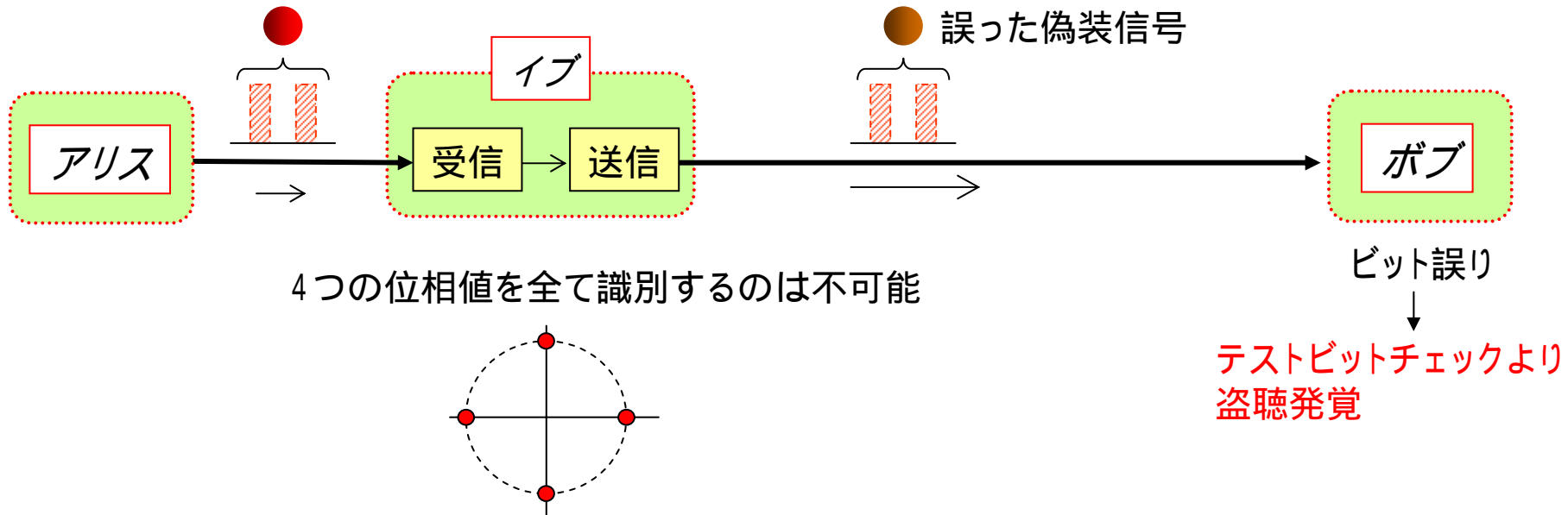
$\phi_a \backslash \phi_b$	0	$\pi/2$
$-\pi/2$	A/B	B
0	A	A/B
$\pi/2$	A/B	A
π	B	A/B

位相エンコードBB84:安全性

ビームスプリット盗聴



なりすまし盗聴



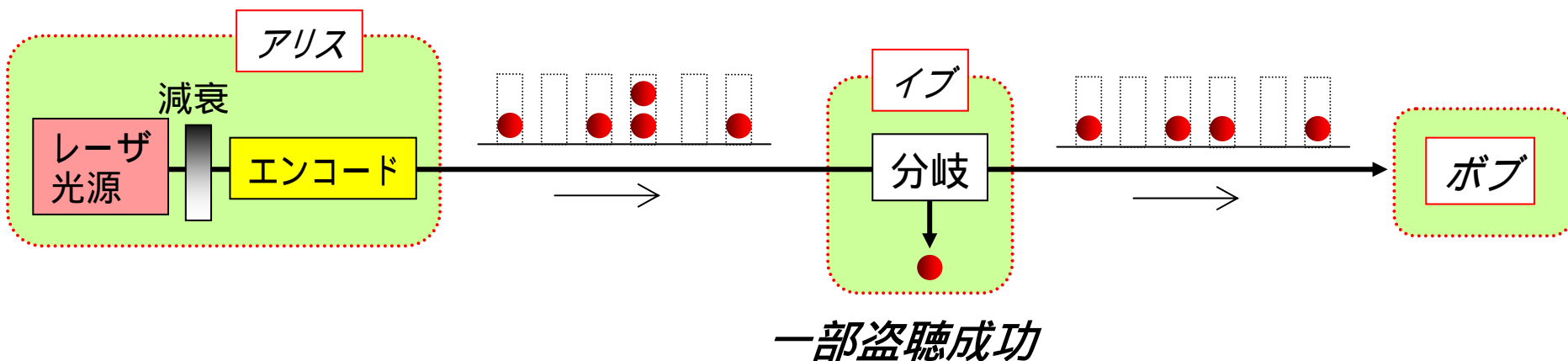
ところが

減衰レーザー光には2光子/信号の場合あり

実際には弱めたレーザー光を擬似単一光子をして使用

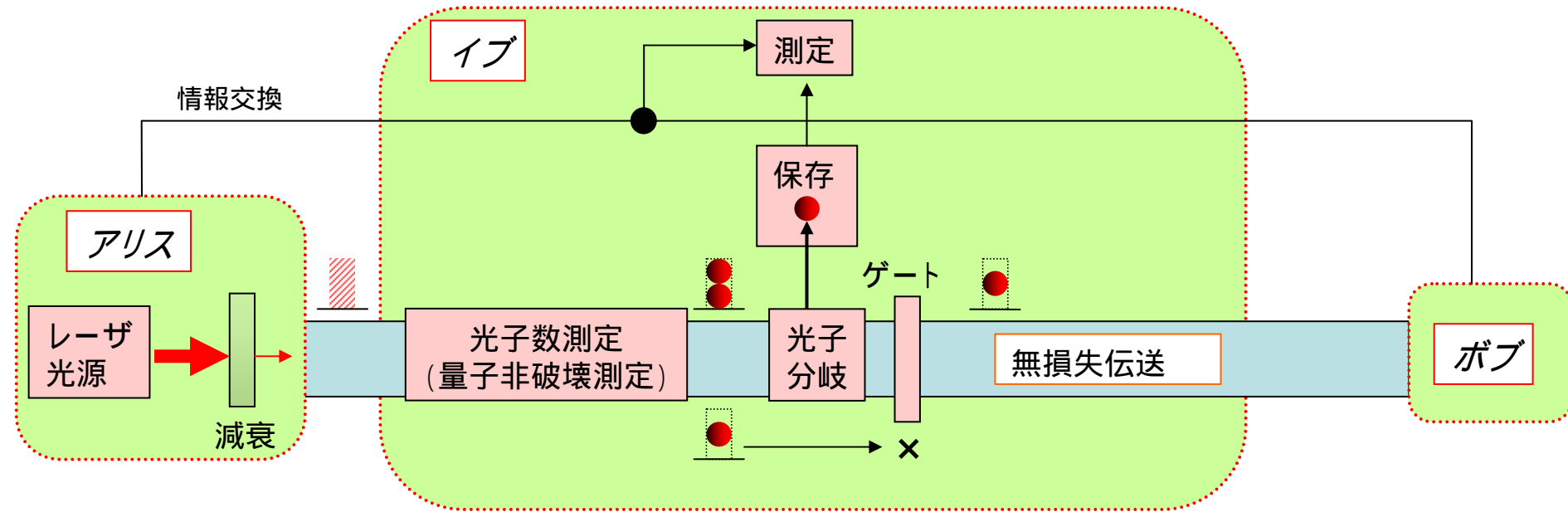


量子揺らぎにより、2光子発生確率あり。



イブが万能とすると
さらにやっかい

光子数分岐盗聴

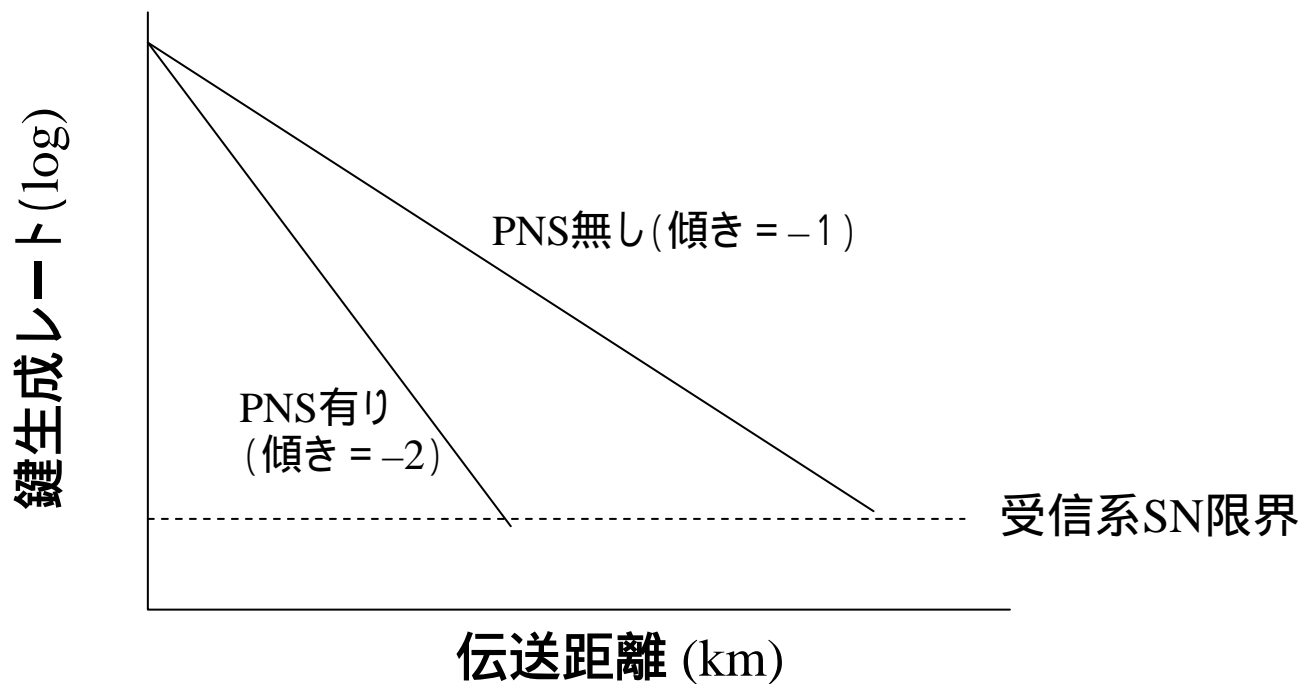


- 光子数を非破壊で測定する
- 2光子あるパルスから1光子だけ分岐する
- 分岐した光子を保存する
- 残りの光子は無損失伝送路でボブへ送る
- 1光子/パルスの場合は、せき止める
- アリス-ボブの基底情報を盗み聞く
- モード情報に基づいて保存しておいた光子を測定する

2光子パルスの確率 = 伝送路損失の場合

100%盗聴

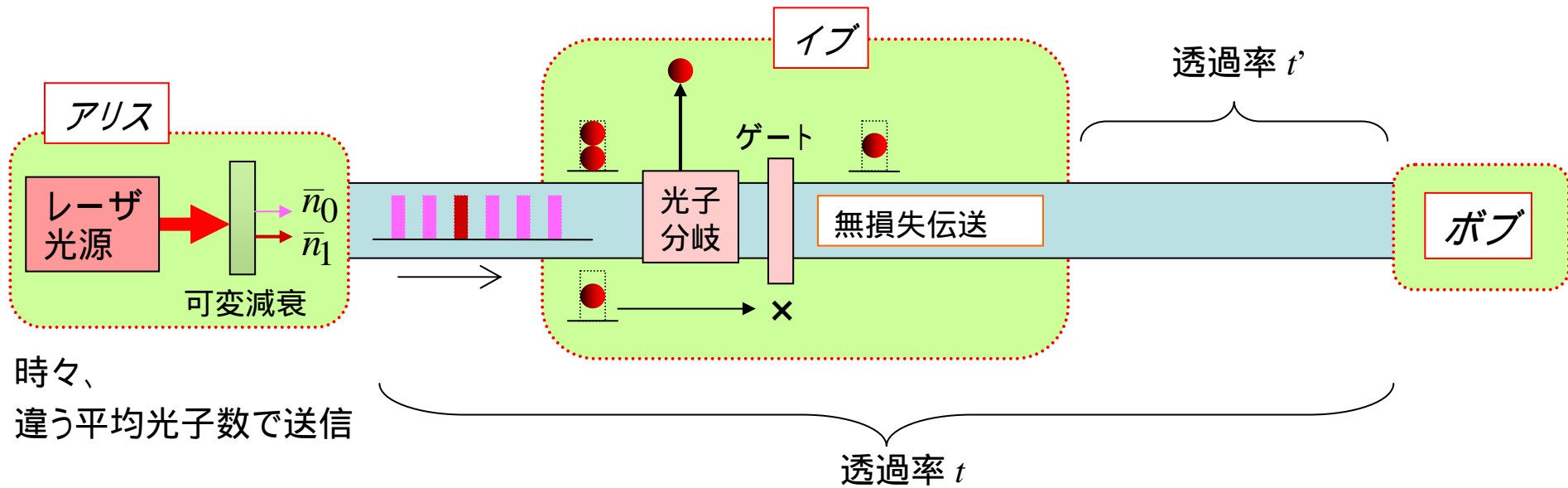
光子数分岐 (PNS) 盗聴に対処するには、
2光子確率を小さくする = 送信光レベルを小さくする



伝送距離に厳しい制限

そこで

デコイBB84量子鍵配送



送信光子数	ボブ受信光子数	
	正常時	光子数分岐攻撃時
\bar{n}_0	$t\bar{n}_0$	$t' P_2(\bar{n}_0)$
\bar{n}_1	$t\bar{n}_1$	$t' P_2(\bar{n}_1)$

盗聴がばれないためには、

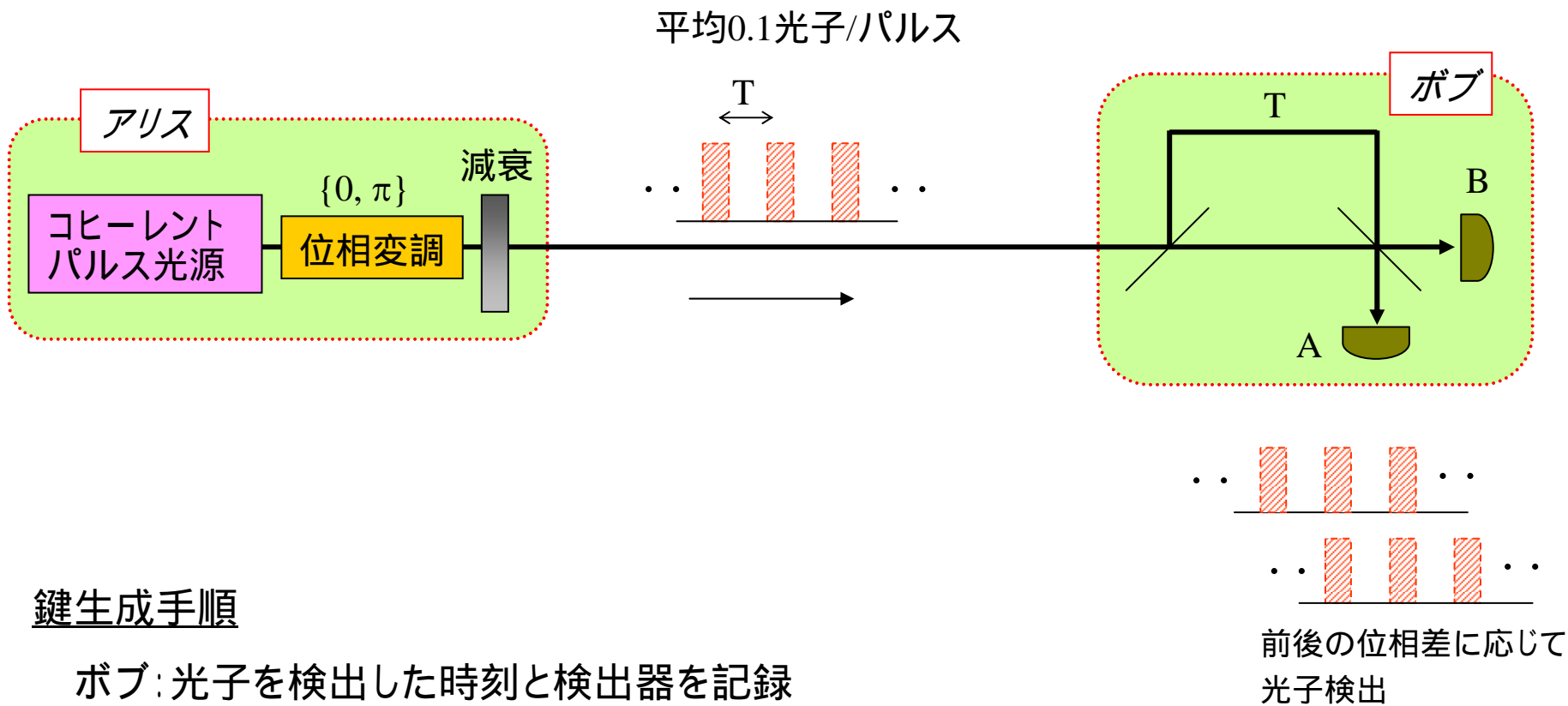
$$\begin{cases} t\bar{n}_0 = t' P_2(\bar{n}_0) \\ t\bar{n}_1 = t' P_2(\bar{n}_1) \end{cases} \Rightarrow \frac{\bar{n}_0}{\bar{n}_1} = e^{-(\bar{n}_0 - \bar{n}_1)} \left(\frac{\bar{n}_0}{\bar{n}_1} \right)^2$$

この等式を満たすのは不可能

盗聴発覚

$$\left[P_2(\bar{n}) = \frac{e^{-\bar{n}} \bar{n}^2}{2} : \text{平均光子数 } \bar{n} \text{ の時の 2 光子確率} \right]$$

DPS (差動位相シフト) 量子鍵配送



鍵生成手順

ボブ: 光子を検出した時刻と検出器を記録

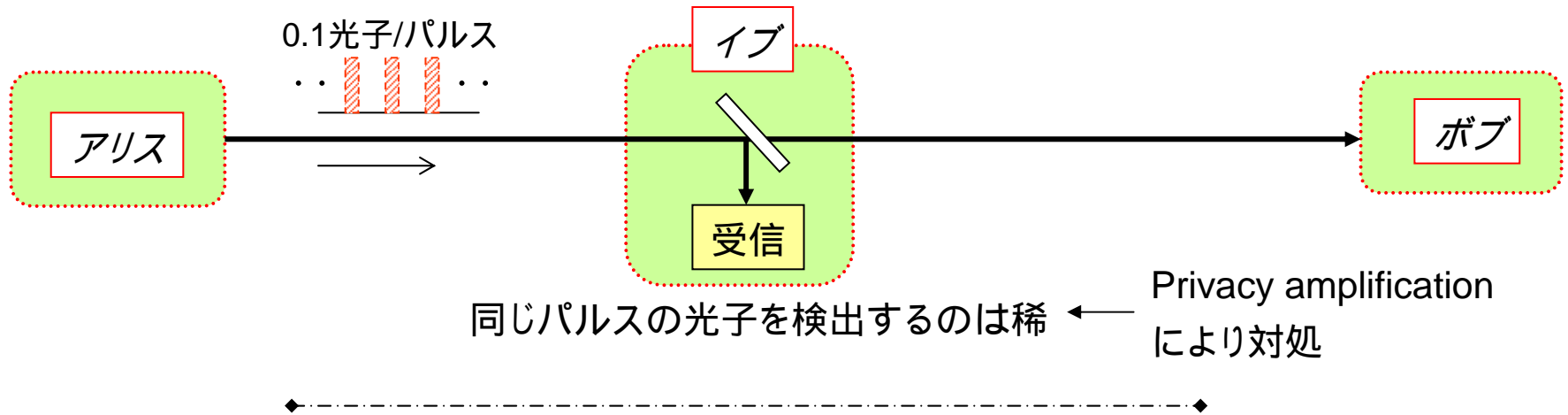
ボブ アリス: 光子検出時刻を通知

アリス: 検出時刻と位相変調データから光子検出した検出器がわかる

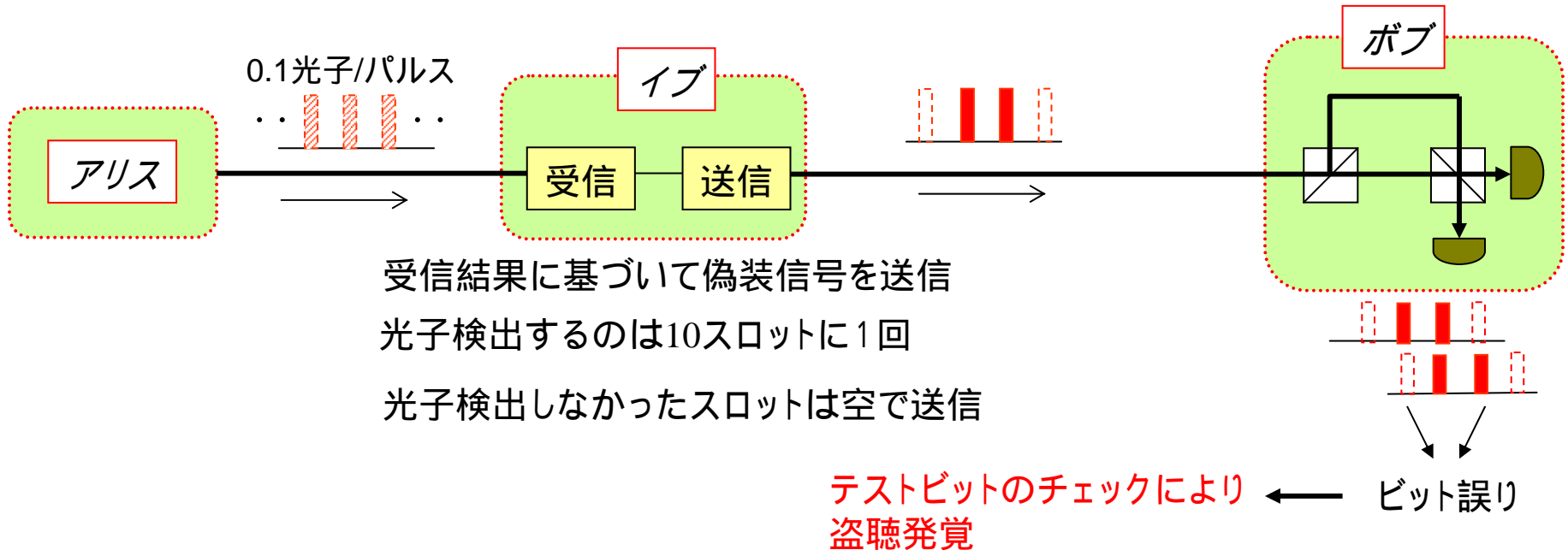
検出器A = 「0」、検出器B = 「1」とすればアリスとボブで同じビット列 **秘密鍵**

DPS方式の安全性

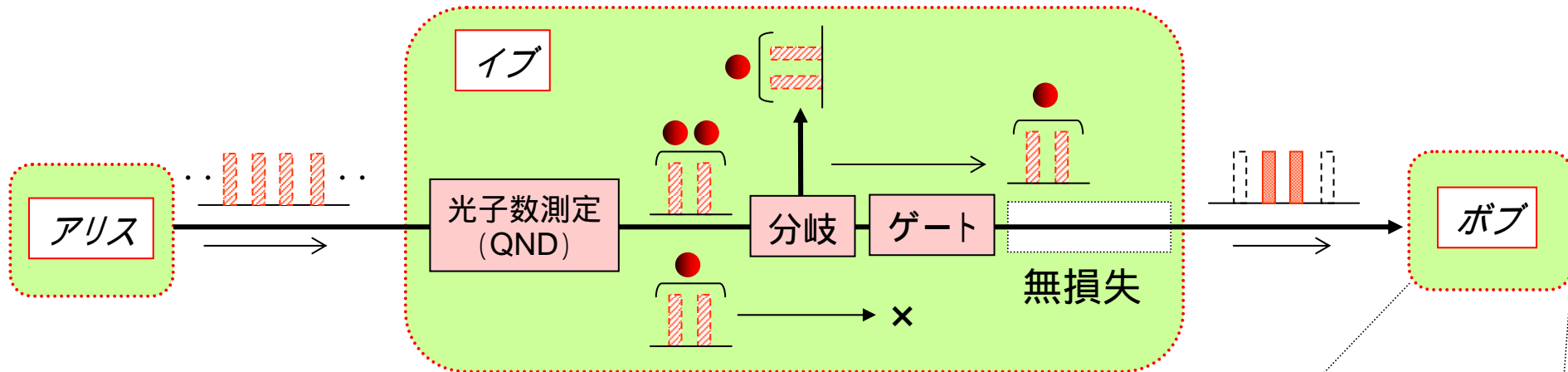
ビームスプリット盗聴



intercept/resend盗聴

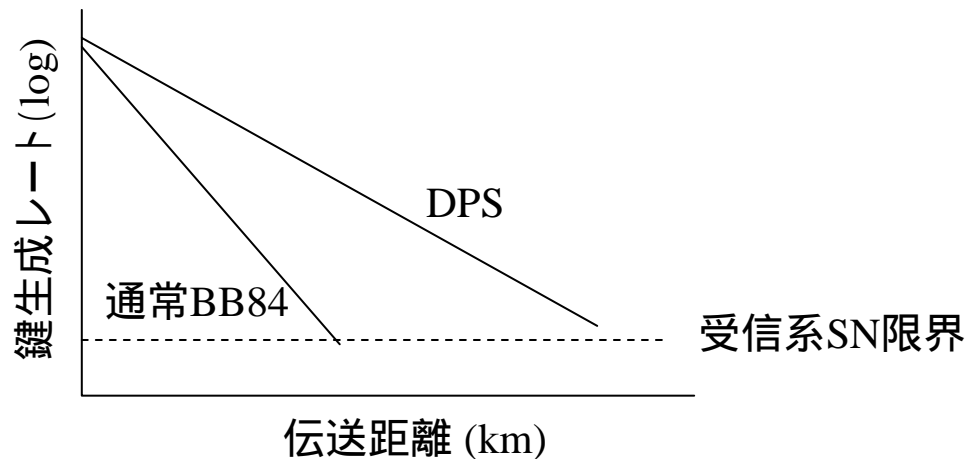
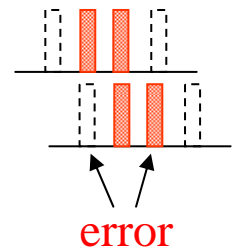
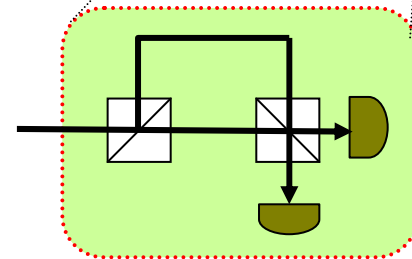


DPS方式に対する光子数分岐盗聴



光子数分岐盗聴をすると誤り発生

DPS-QKDに対しては光子数分岐盗聴は効力なし



内容

[1] 量子暗号の概略

[2] 各種プロトコル

BB84、B92、BBM92、DPS

[3] **実験**

(1) 光子検出器

(2) BB84 プラグ & プレイ

(3) DPS

[4] 連続変数量子鍵配送

[5] 量子もつれ鍵配送

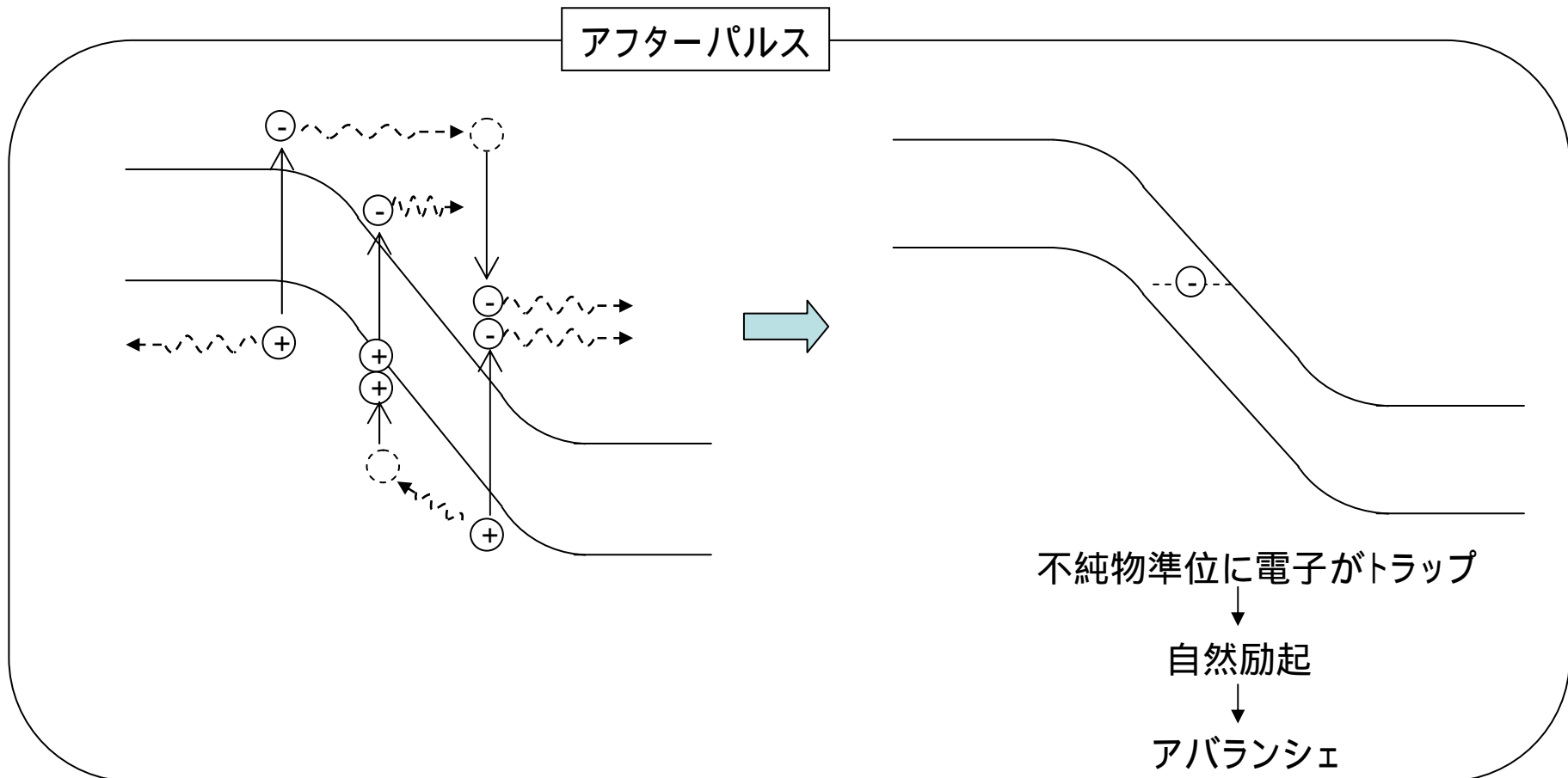
APD光子検出器

APD(アバランシェ・フォトダイオード)をブレークダウン電圧以上で使用

性能指数は、**量子効率**: 1光子入力に対しアバランシェが起こる確率

ダークカウント: 光子未入力時に起こるカウント

アフターパルス: 正規のアバランシェに続けて起こる誤カウント(高速化の障害)



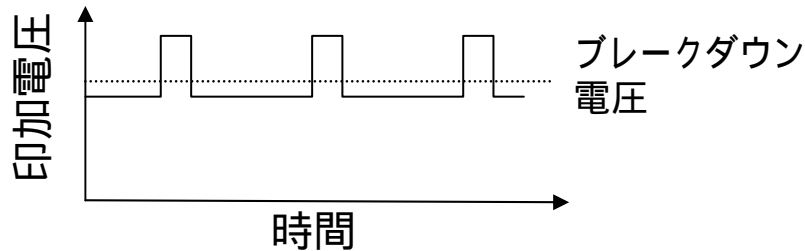
APD光子検出器の現状

短波長帯：市販のSi-APDあり

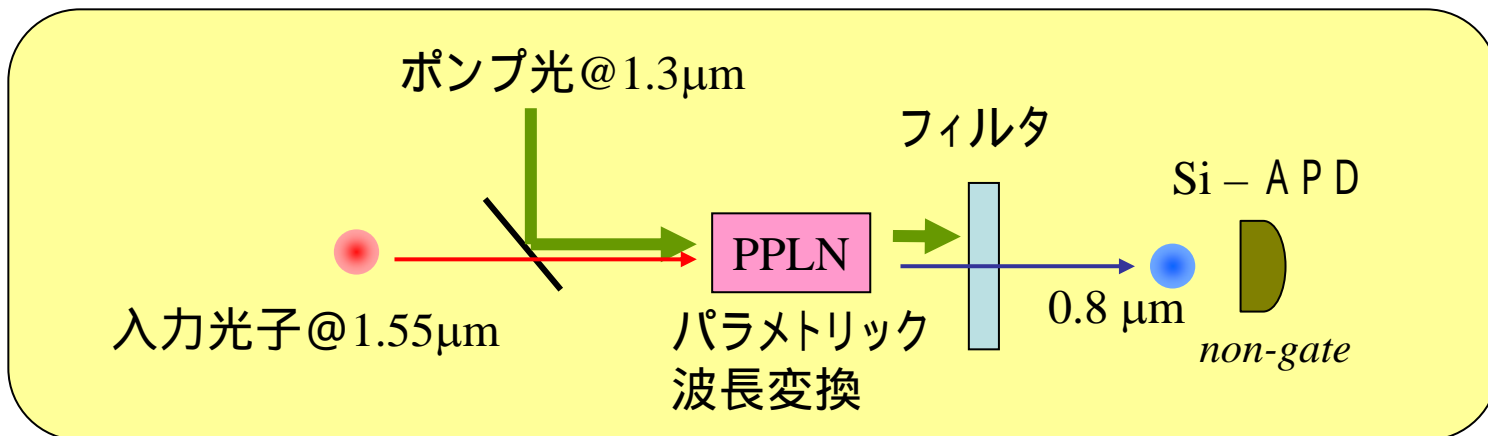
量子効率 ~ 60%、ダークカウント < 100cps

長波長帯(ファイバ通信波長帯)：冷却InGaAs-APDをゲートモードで使用

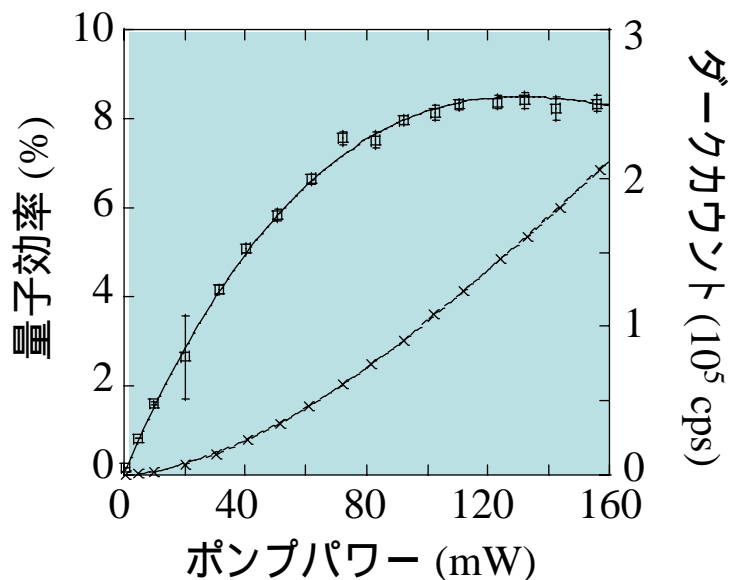
量子効率 ~ 10%、ダークカウント ~ $10^{-5}/\text{gate}$ 、繰り返し < 数MHz



波長変換型光子検出器

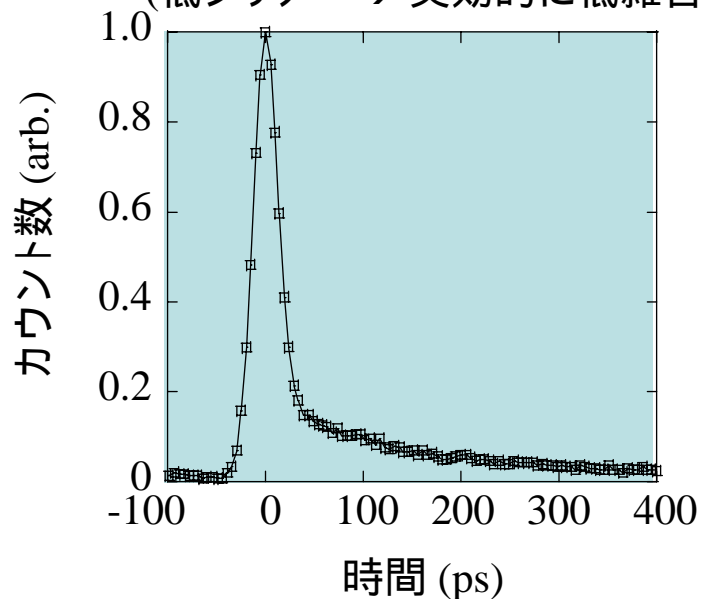


効率&ダークカウント



ジッター

(低ジッター → 実効的に低雑音)



超伝導光子検出器

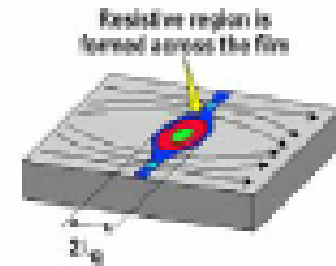
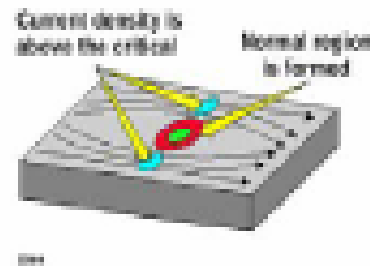
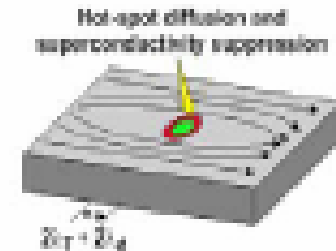
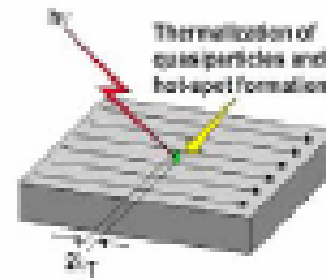
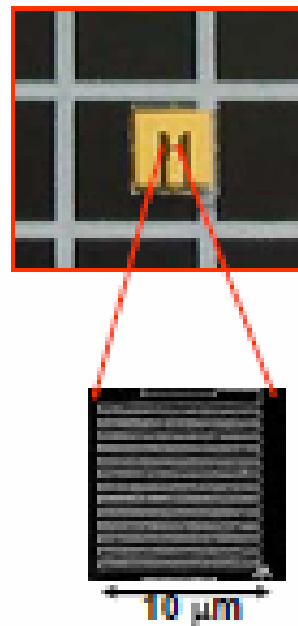
超伝導素子に光子入射

光子吸収

発熱

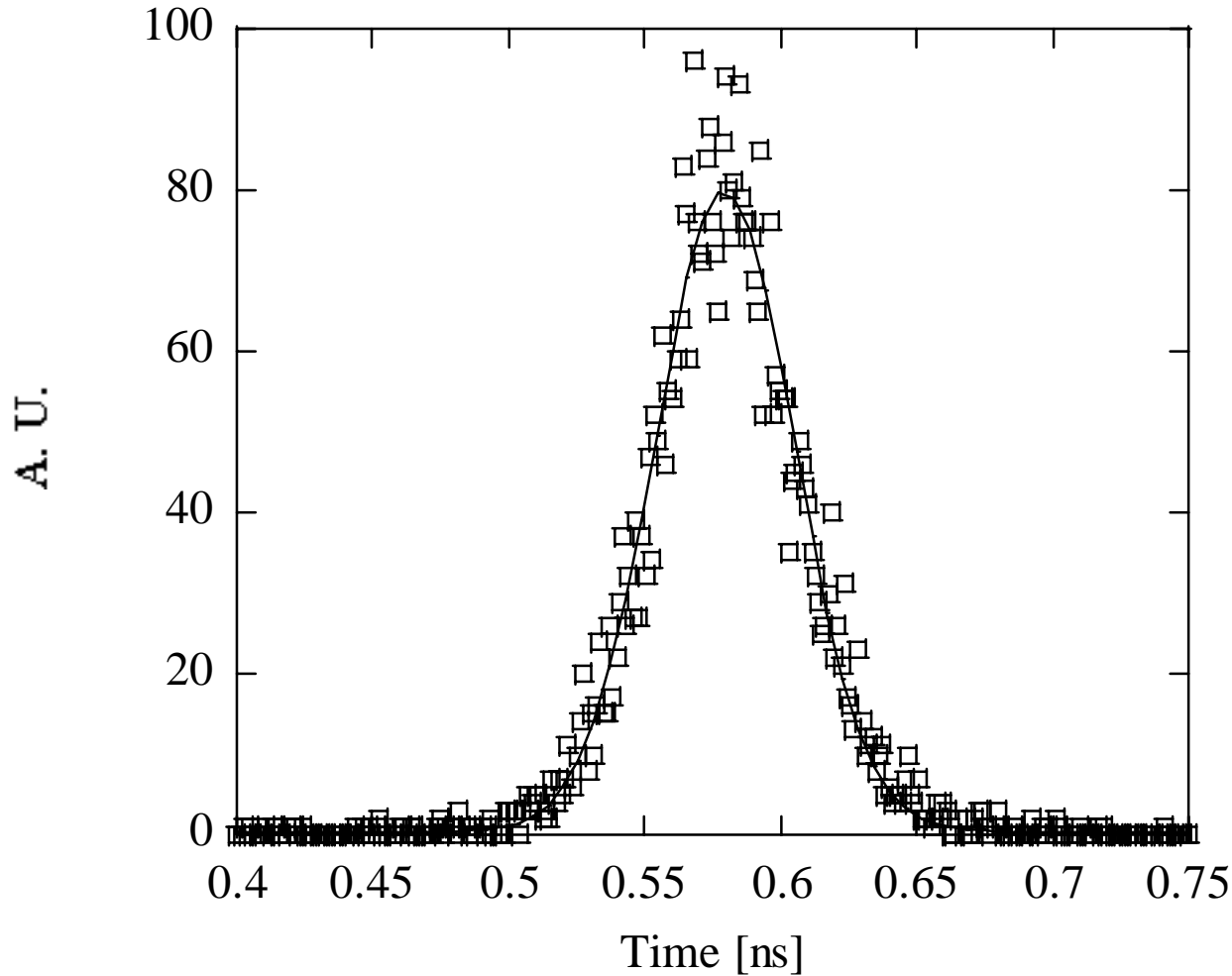
超伝導状態変化

出力信号



- Current Biased
- Recovery inductance limited
- Low jitter (10's ps)
- System Detection Efficiency

超伝導光子検出器特性例

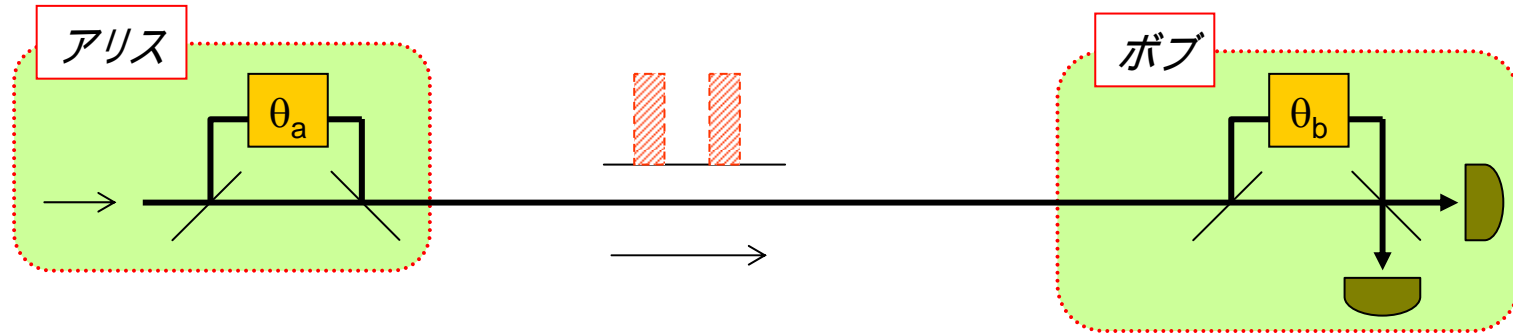


入力光: 10 ps pulse
時間分解能: 60 ps.

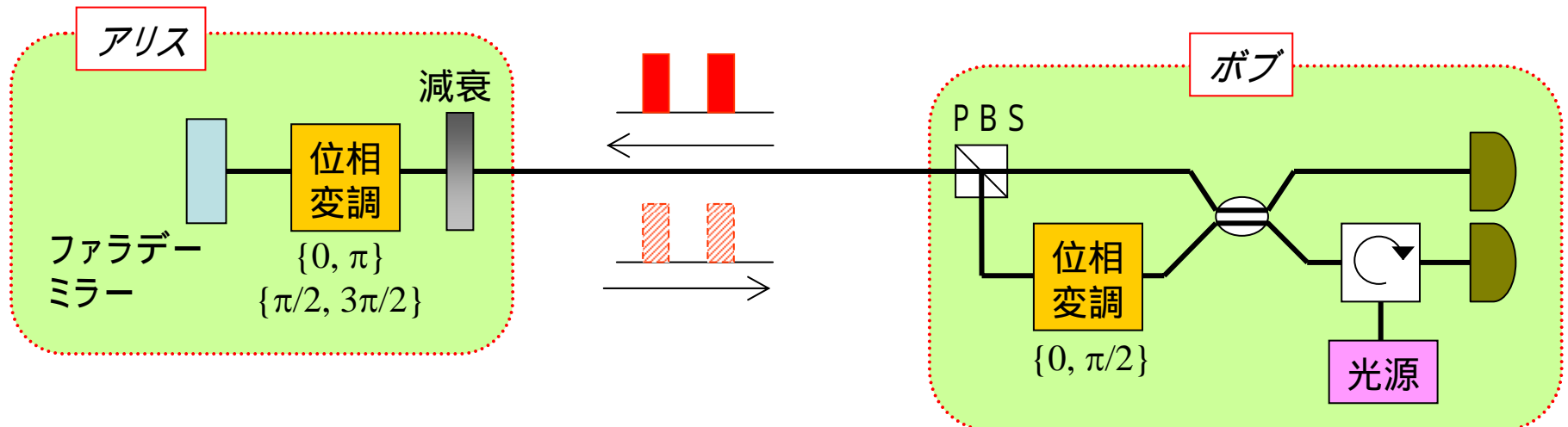
量子効率: 0.7%
ダークカウント: < 10 cps

BB84 - QKD実験: プラグ & プレイシステム

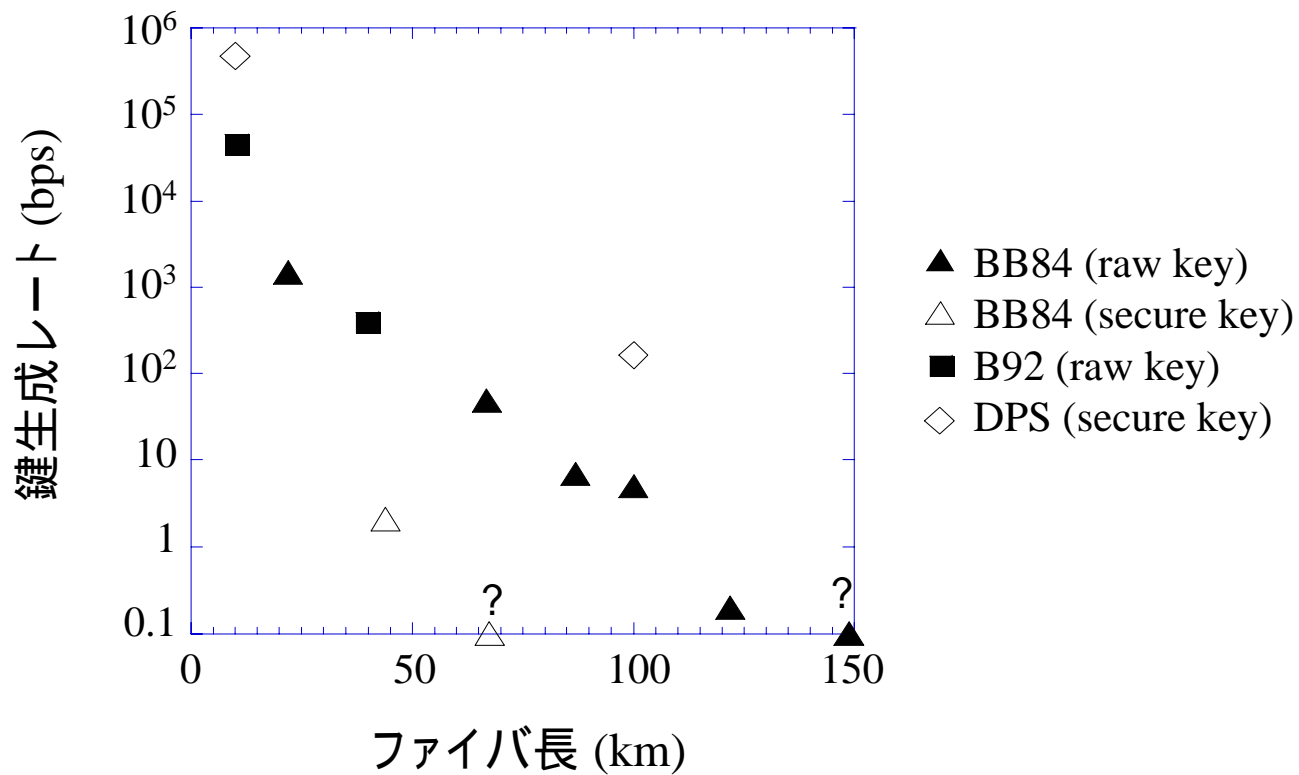
位相エンコードBB84を行うには、干渉計の安定性が難点



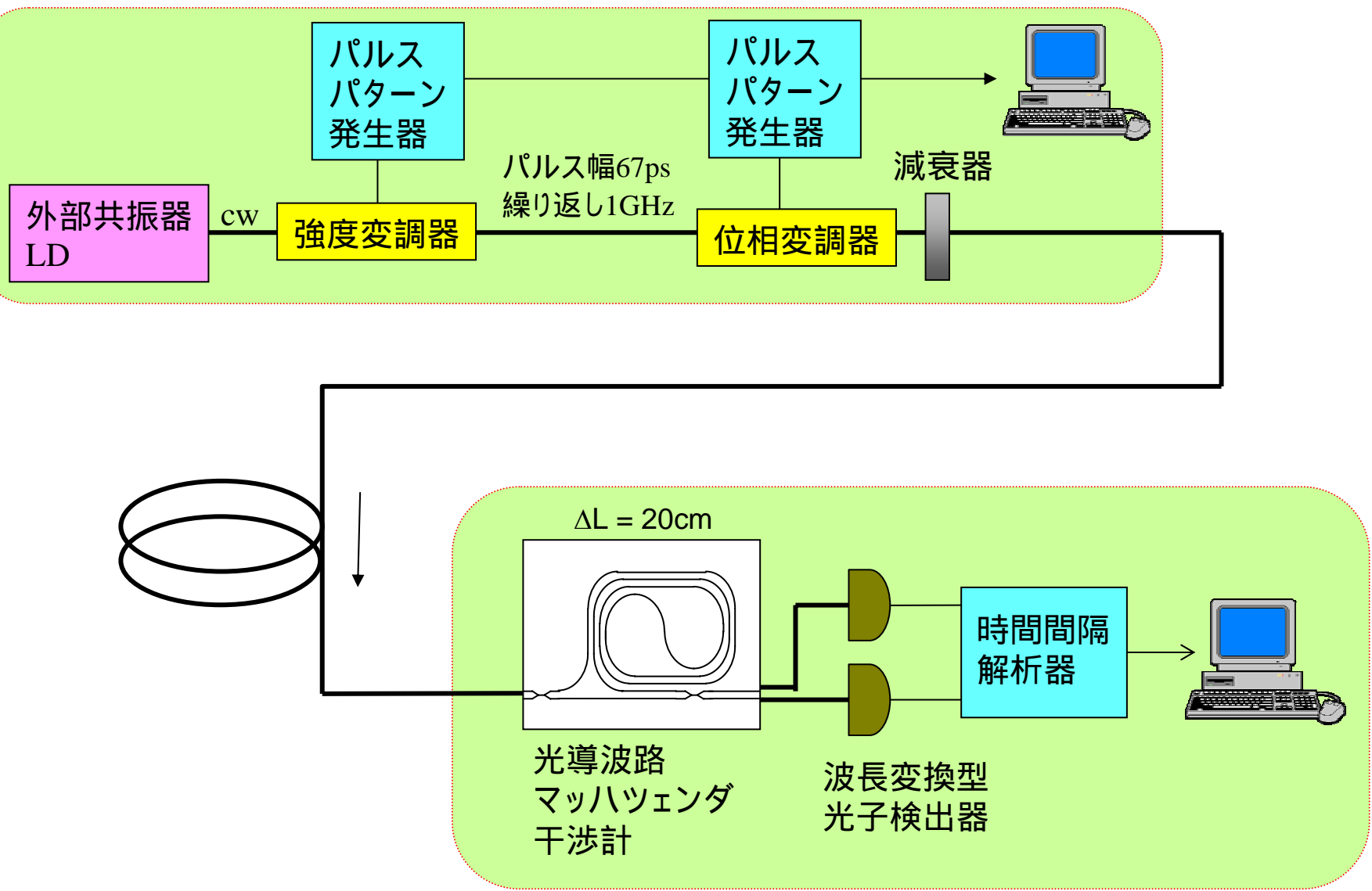
光を折り返す構成により位相変動を自動補償: plug & play構成



これまでの量子鍵配送実験報告例

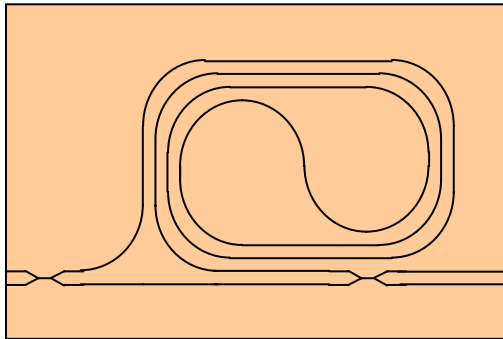


DPS - QKD実験

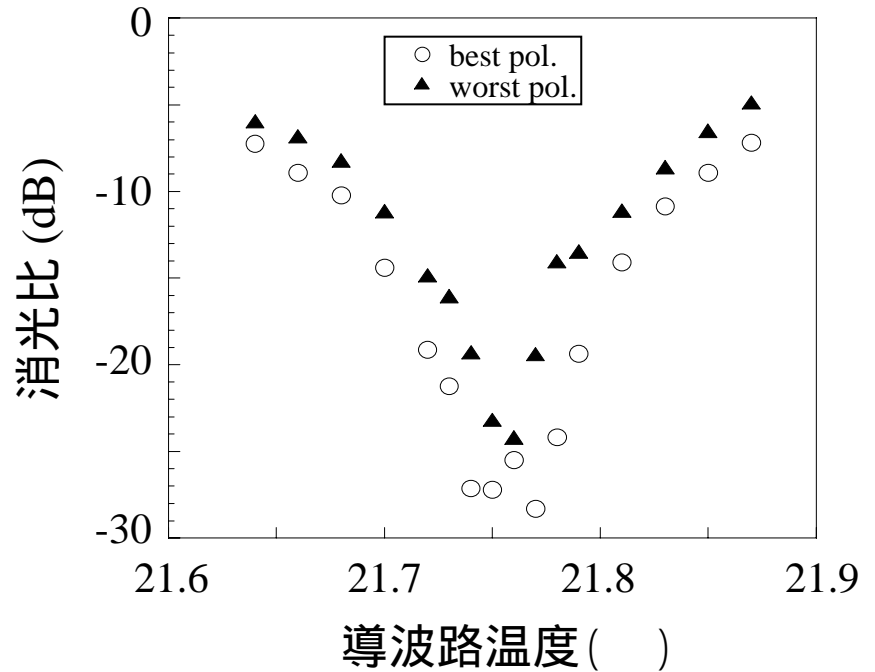
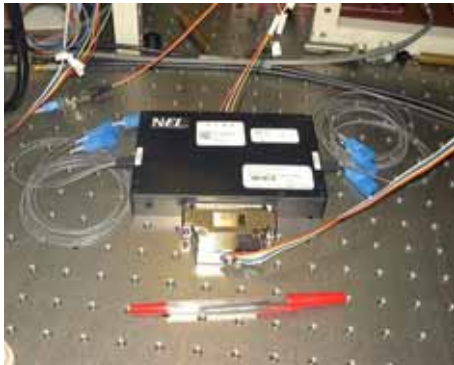


PLCマツハツェンダ干渉計

光路長差 20 cm
(時間差 1 ns)

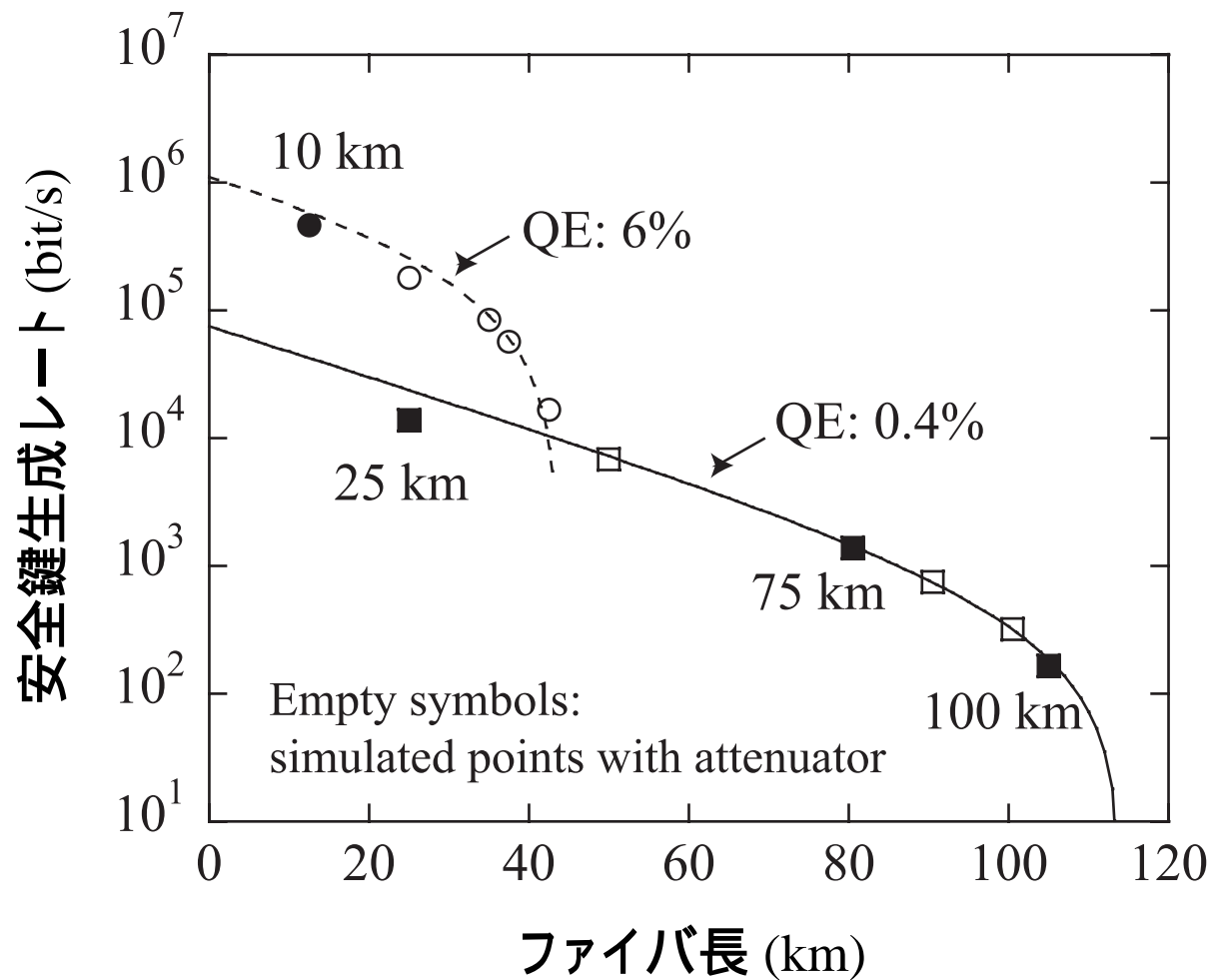


損失 2 dB (fiber-fiber)



最悪偏波でも20dB以上の消光比

DPS-QKD実験結果



内容

[1] 量子暗号の概略

[2] 各種プロトコル

[3] 実験

[4] **連続変数量子鍵配送**

量子鍵配送の難関は光子検出

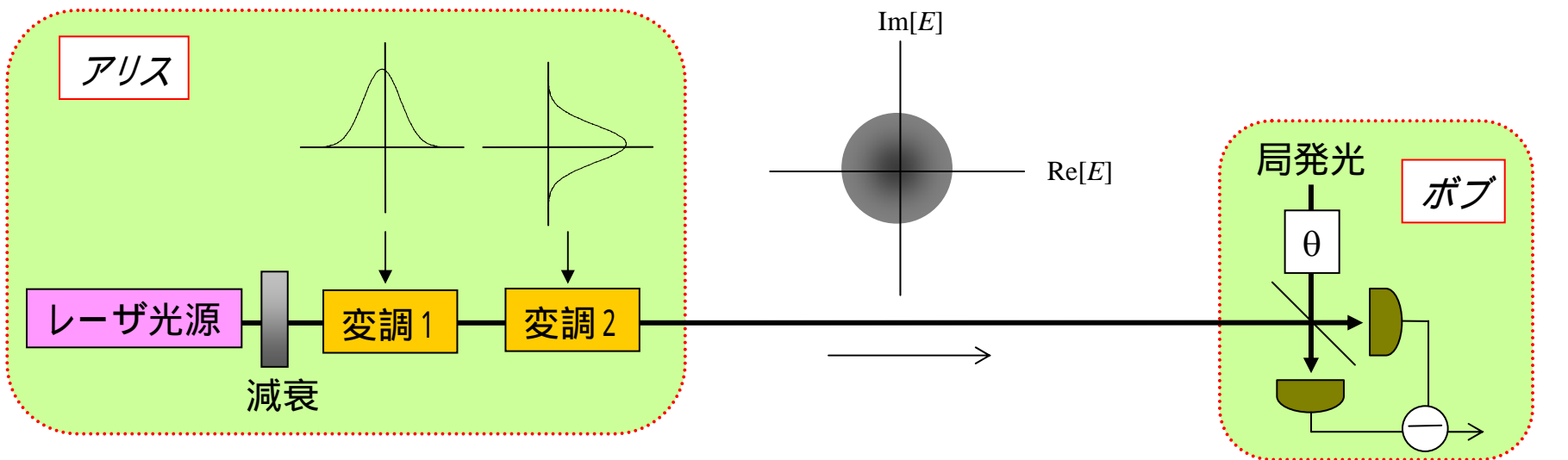


通常の光検出器が使えないか

[5] 量子もつれ鍵配送

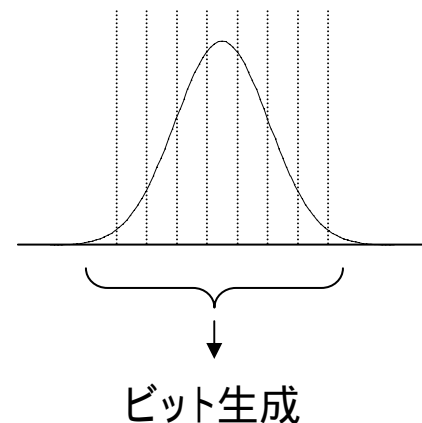
連続変数量子鍵配送 (Continuous Variable QKD)

—量子雑音を利用する量子鍵配送—

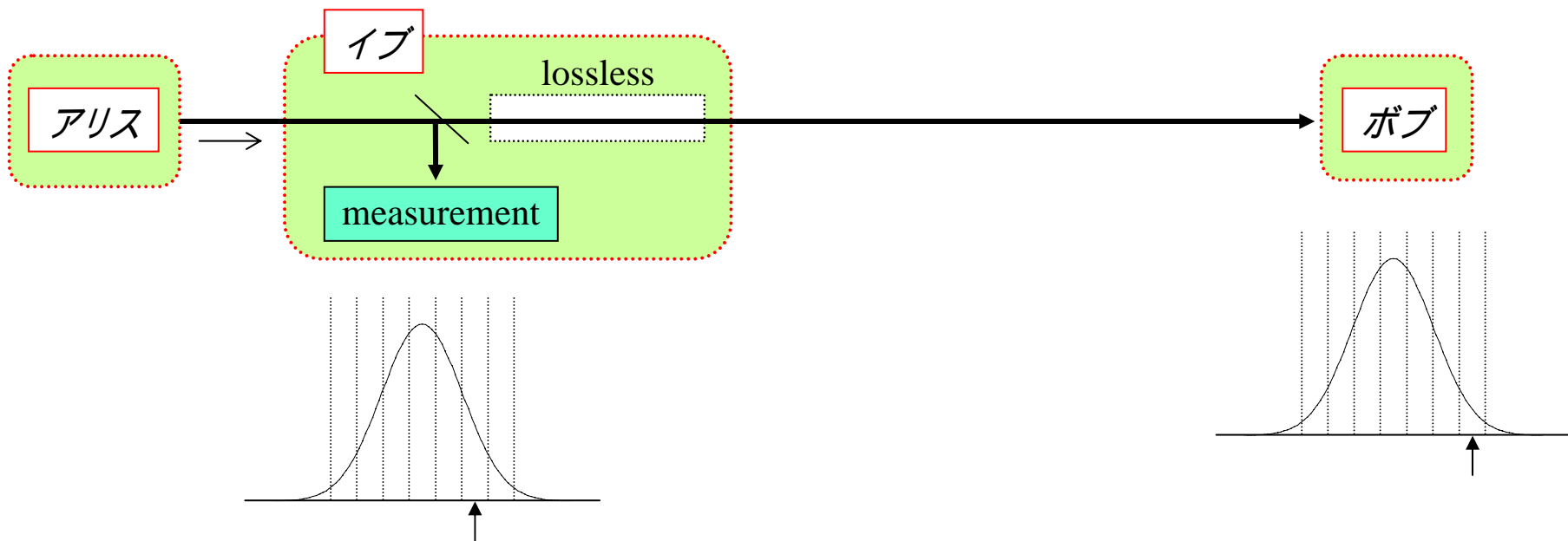


通常を受光素子を使用可能

↓
高ビットレート



CV-QKDの安全性



量子雑音のため {

- アリス/ボブ間のビットに不一致
- イブ/ボブ間のビットに不一致

アリス/ボブ相互情報量 I_{AB}
イブ/ボブ相互情報量 I_{EB}

今の場合、 $I_{AB} > I_{EB}$



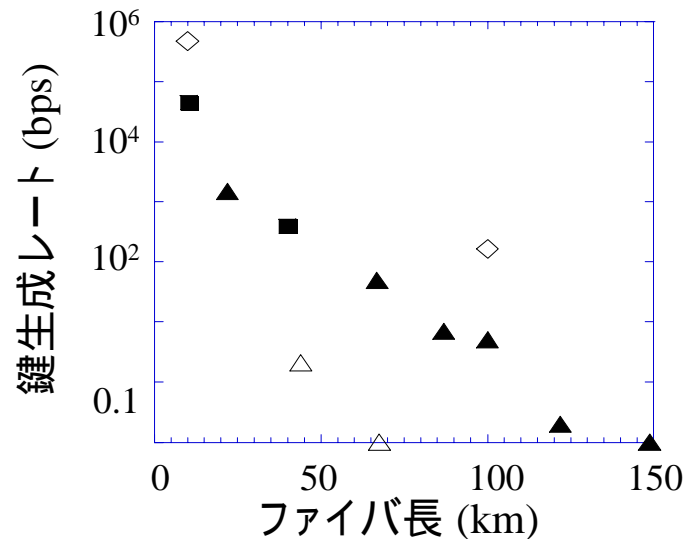
誤り訂正・秘匿性増強により秘密鍵生成可能

課題は量子雑音限界の受信器

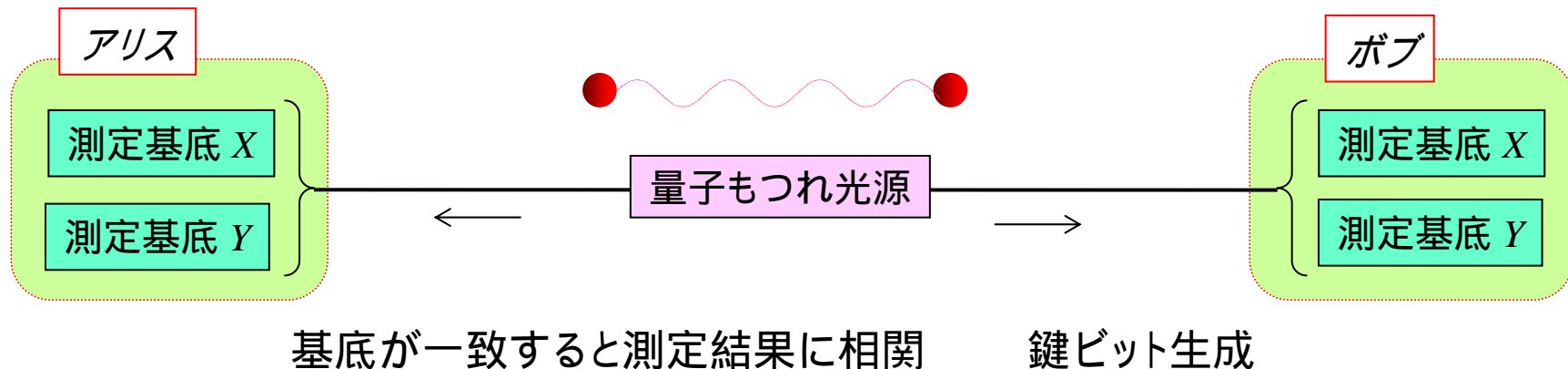
内容

- [1] 量子暗号の概略
- [2] 各種プロトコル
- [3] 実験
- [4] 連続変数量子鍵配送
- [5] **量子もつれ鍵配送**

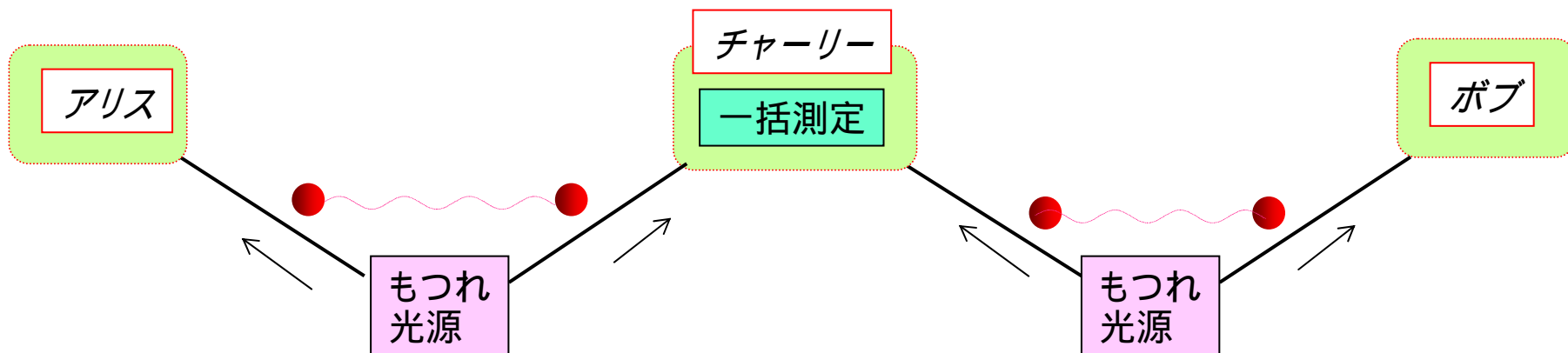
単一光子伝送には距離制限 → もつれ利用による超距離化



BBM92量子鍵配送

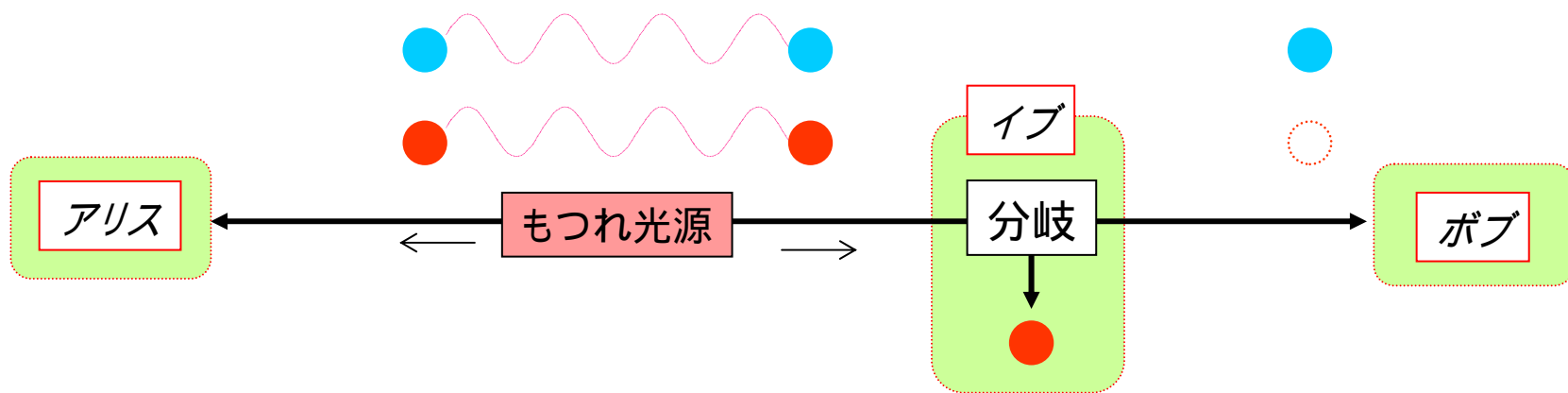


量子リレー鍵配送



アリス - ボブ間の長距離化

ビームスプリット盗聴に対して



分岐光子はアリス/ボブの光子とは無相関



分岐しても盗聴にはならない



高い安全性

もつれQKDは、現在、原理確認実験が行なわれている段階

まとめ

[1] 量子暗号の概略

[2] 各種プロトコル

BB84, B92, BBM92, DPS

[3] 実験

(1) 光子検出器

(2) BB84 プラグ & プレイ

(3) DPS

[4] 連続変数量子鍵配送

[5] 量子もつれ鍵配送